

01;04

## Изучение продольной диэлектрической проницаемости плазмы с использованием двухпараметрического уравнения

© А.В. Латышев, Т.В. Терешина, А.А. Юшканов

Московский государственный областной университет

E-mail: avlatyshev@mail.ru, tv\_nikitina@mail.ru, yushkanov@inbox.ru

В окончательной редакции 1 апреля 2009 г.

Рассматривается случай, когда электрон-электронные столкновения начинают сказываться на свойствах максвелловской плазмы. Применяется двухпараметрическое кинетическое уравнение, учитывающее эти столкновения. Получено аналитическое выражение продольной проницаемости плазмы. Когда частота электрон-электронных столкновений стремится к нулю, полученные результаты переходят в классические. Проведен анализ различных предельных случаев.

PACS: 52.35.-g, 52.20.-j, 52.25.-b

Диэлектрическая проницаемость является одной из основных характеристик плазмы. Знание этой величины необходимо для описания процесса распространения и затухания плазменных волн, скин-эффекта и механизма проникновения электромагнитных волн в плазму (см., например, [1–3]).

В настоящее время широко применяется интеграл с постоянной частотой столкновений [4]. В частности, для слабоионизованной плазмы используется  $\tau$  — приближение интеграла столкновений:  $J_1[f] = \nu_1(f_0^{ei} - f)$ ,  $\nu_1 = 1/\tau_1$ , где  $\nu_1$  — частота электрон-ионных столкновений,  $f_0^{ei}$  — максвелловская функция распределения электронов, устанавливающаяся в результате столкновений электронов с тяжелой компонентой (с ионами и нейтральными атомами),

$$f_0^{ei} = n \left( \frac{\beta}{\pi} \right)^{3/2} \exp[-\beta v^2],$$

$\beta = \frac{m}{2k_B T}$ ,  $m$  — масса электрона,  $n(\mathbf{r}, t)$  — их концентрация,  $k_B$  — постоянная Больцмана,  $T$  — температура плазмы.

Эта модель основана на предположении, что рассеяние электронов носит изотропный характер, при этом в результате рассеяния электроны утрачивают полностью свой первоначальный импульс. Известно, что  $\tau$ -модель [5,6] адекватно описывает динамику слабоионизованной плазмы [4]. Для сильноионизованной плазмы становятся существенными электрон-электронные столкновения. При таких столкновениях полный импульс электронной подсистемы сохраняется. Это обстоятельство оказывает существенное влияние на динамику плазмы, особенно на ее электропроводность, а именно электропроводность плазмы определяет ее диэлектрическую проницаемость.

Аналогичная проблема возникла при описании свойств плазмы в металле, где при низких температурах становятся существенными электрон-электронные столкновения (см., например, [5–7]). Для описания влияния этих столкновений на поведение плазмы был разработан двухпараметрический интеграл столкновений, который является обобщением релаксационной  $\tau$ -модели [8]. Этот обобщенный интеграл столкновений был успешно применен для описания электропроводности тонких пленок (см. [8,9]), а также при изучении аномального скин-эффекта в металле (см. [10–14]). Цель нашей работы состоит в применении аналогичного подхода для описания диэлектрической проницаемости сильноионизованной плазмы, когда электрон-электронные столкновения оказывают существенное влияние на ее динамику.

Итак,  $\tau$ -модель [12,13] не во всех случаях адекватно описывает рассеяние электронов. Эта модель предполагает, что рассеяние полностью изотропное. В действительности электроны, претерпевшие рассеяние в объеме, могут частично сохранять свой импульс. Чтобы учесть это обстоятельство, в работе предлагается естественно обобщение интеграла столкновений  $J_1[f]$ :

$$J_2[f] = \nu_1(f_0^{ei} - f) + \nu_2(f_0^{ee} - f),$$

где  $\tau_2 = 1/\nu_2$ ,  $\nu_2$  — частота столкновений электронов с электронами,  $f_0^{ee}$  — максвелловская функция распределения электронов, устанавливающаяся в результате электрон-электронных столкновений с сохранением полного импульса электронной подсистемы,  $f_0^{ee} = n\left(\frac{\beta}{\pi}\right)^{3/2} \exp[-\beta(\mathbf{v} - \mathbf{u})^2]$ , где  $\mathbf{u}(r, t)$  — скорость электронов.

Интеграл столкновений  $J_2[f]$  естественно называть  $(\tau_1, \tau_2)$ -модельным интегралом столкновений, а кинетическое уравнение с этим

интегралом столкновений

$$\frac{\partial f}{\partial t} + \mathbf{v} \frac{\partial f}{\partial \mathbf{r}} + e \mathbf{E} \frac{\partial f}{\partial \mathbf{p}} = \nu_1 (f_0^{ei} - f) + \nu_2 (f_0^{ee} - f)$$

будем называть двухпараметрическим кинетическим уравнением [12,13].

Найдем выражение для продольной диэлектрической проницаемости сильноионизованной плазмы, которая характеризует электромагнитные свойства плазмы по отношению к продольному полю. Для изотропной плазмы тензоры  $\sigma_{ij}$  и  $\varepsilon_{ij}$  можно представить в виде

$$\varepsilon_{ij} = \left( \delta_{ij} - \frac{k_i k_j}{k^2} \right) \varepsilon^{tr} + \frac{k_i k_j}{k^2} \varepsilon^l, \quad \sigma_{ij} = \left( \sigma_{ij} - \frac{k_i k_j}{k^2} \right) \sigma^{tr} + \frac{k_i k_j}{k^2} \sigma^l.$$

Тензоры  $\varepsilon_{ij}$  и  $\sigma_{ij}$  связаны соотношением  $\varepsilon_{ij} = \delta_{ij} + \frac{4\pi}{\omega} \sigma_{ij}$ , где  $\delta_{ij}$  — символ Кронекера.

Будем считать, что электрическое поле в плазме меняется по гармоническому закону как в пространстве, так и во времени. Ось  $x$  проведем вдоль направления изменения электрического поля. Тогда будем иметь  $\mathbf{E} = (E, 0, 0)$ , где  $E(x, t) = E_0 e^{i(kx - \omega t)}$ . Введем безразмерные параметры:  $\mathbf{C} = \sqrt{B} \mathbf{v}$ ,  $b = \frac{\nu_2}{\nu}$ ,  $e(x, t) = \frac{\sqrt{2} e E(x, t)}{\nu \sqrt{m k_B T}}$ ,  $\nu = \nu_1 + \nu_2$ . Если искать функцию  $f$  в виде  $f = f_0(C)[1 + f_1]$ , где  $f_0(C) = n_0 \left(\frac{\beta}{\pi}\right)^{3/2} \exp(-C^2)$ , то для функции  $f_1$  получаем уравнение:

$$\begin{aligned} \frac{\partial f_1}{\partial t} + C_x \frac{\partial f_1}{\partial x} + f_1 &= e(x, t) C_x \\ &+ \frac{1}{\pi^{3/2}} \int \exp(-C'^2) [1 + 2b C C'] f_1(x, \mathbf{C}', t) d^3 C'. \end{aligned} \quad (1)$$

Параметр  $b$  ( $0 \leq b < 1$ ) есть отношение частоты межэлектронных столкновений к полной частоте рассеяния электронов. Для слабоионизованной плазмы  $b \ll 1$ . Для сильноионизованной плазмы  $b \sim 1$ . Этот параметр будем называть столкновительным параметром частотности или, кратко, параметром частотности.

Решение уравнения (1) ищем в виде бегущей волны  $f_1 = e^{j(kx - \Omega t)} \varphi(C_x)$ ,  $\Omega = \omega \tau = \frac{\omega}{\nu}$ . Получаем уравнение относительно функции  $\varphi$ :

$$\varphi(\mu)(w_0 + ik\mu) = (\alpha_0 E_0 + 2b A_1) \mu + A_0, \quad w_0 = 1 - i\Omega, \quad \mu = C_x, \quad (2)$$

где

$$\alpha_0 = \frac{\sqrt{2e}}{v\sqrt{mk_B T}}, \quad A_n = \frac{1}{\sqrt{\pi}} \int \exp(-u^2) u^n \varphi(u) du, \quad n = 0, 1. \quad (3)$$

Из уравнений (2) и (3) находим

$$\varphi(\mu) = \frac{\alpha_0 E_0}{w_0 + ik\mu} \frac{(1 - T_0)\mu + T_1}{(1 - T_0) - 2b[(1 - T_0)T_2 + T_1^2]}.$$

Здесь

$$T_m \equiv T_m(\Omega, k) = \frac{1}{\sqrt{\pi}} \int_{-\infty}^{\infty} \frac{\exp(-\mu^2) \mu^m}{1 + i(k\mu - \Omega)} d\mu, \quad m = 0, 1, 2.$$

Рассмотрим плотность электрического тока  $j_x = \sigma^l E_0$ , откуда для продольной проводимости получаем:

$$\sigma^l = \sigma_0 f^l(\Omega, k, b), \quad \sigma_0 = \frac{ne^2}{mv}, \quad (4)$$

где  $\sigma_0$  — стандартная проводимость плазмы, а  $f^l(\Omega, k, b)$  — безразмерная продольная проводимость

$$f^l(\Omega, k, b) = \frac{1}{\Phi(\Omega, k) - b}, \quad \Phi(\Omega, k) = \frac{0.5}{T_2 + T_1^2/(1 - T_0)}.$$

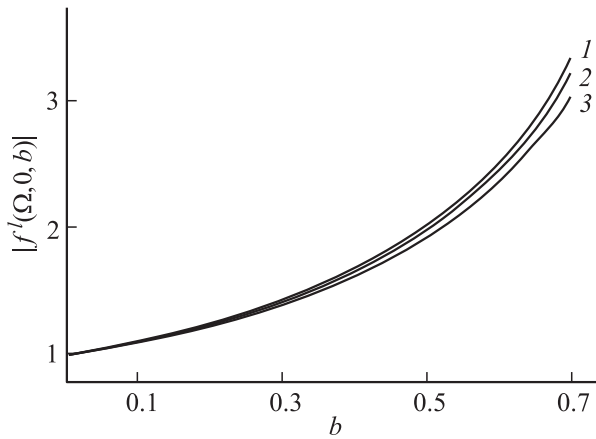
Нетрудно проверить, что  $f^l(0, 0, 0) = 1$ . Следует подчеркнуть, что изменение параметра  $b$  существенно влияет на значения продольной проводимости (рис. 1). Анализ графика показывает, что с ростом параметра частотности  $b$  модуль продольной проводимости монотонно возрастает. В то же время с увеличением  $\Omega$  наблюдается его убывание.

В высокочастотном пределе ( $\Omega \rightarrow \infty$ ) продольная проводимость имеет вид

$$\sigma^l(\Omega, k, b) = \frac{i\sigma_0}{\Omega - 2b}.$$

Отсюда при  $b = 0$  получаем классическое выражение для продольной проводимости для слабоионизованной газовой плазмы [1,14].

Из формулы (4) при  $b = 0$  в длинноволновом пределе ( $k \rightarrow 0$ ) получаем известную формулу проводимости Друде  $\sigma_D(\Omega) : \sigma_D(\Omega) = \frac{\sigma_0}{1 - i\Omega}$ .



**Рис. 1.** Зависимость  $|f^l(\Omega, 0, b)|$  от параметра частотности  $b$ . Кривые 1, 2, 3 отвечают значениям  $\Omega = 0, 10^{-2}, 10^{-1}$ .

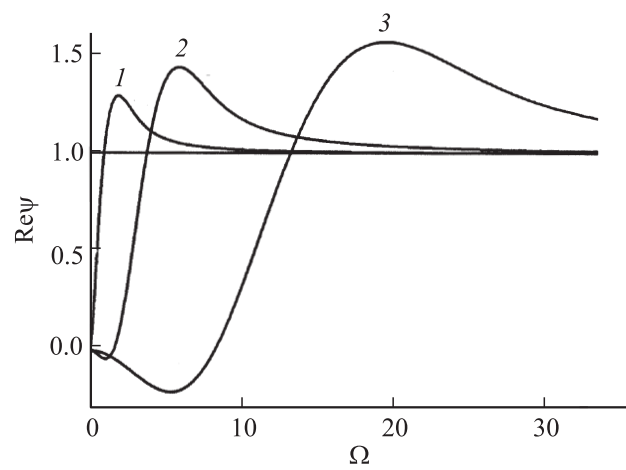
Для описания продольной диэлектрической проводимости при промежуточных значениях величины  $\Omega (0 \leq \Omega < \infty)$  будем исследовать отношение  $\psi(\Omega, k, b) = \sigma^l(\Omega, k, b)/\sigma_D(\Omega)$ .

На рис. 2 представлена зависимость действительной части  $\psi(\Omega, k, b)$  от величины  $\Omega$ . Из приведенных графиков следует, что с возрастанием волнового числа  $k$  максимумы действительной части  $\psi(\Omega, k, b)$  увеличиваются, сдвигаясь вправо.

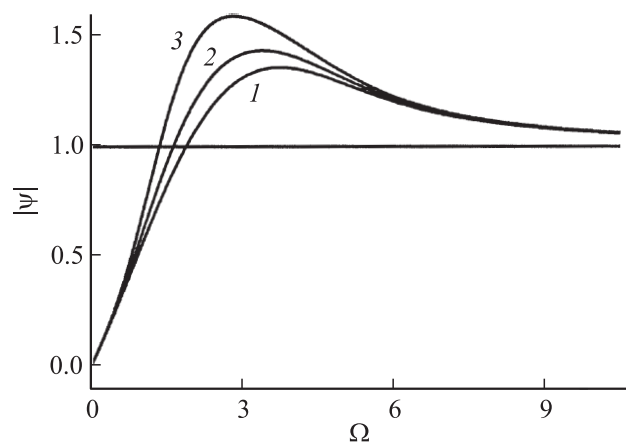
На рис. 3 представлены графики зависимости модуля  $\psi(\Omega, k, b)$  от частоты внешнего поля. Из рисунков видно, что при данных значениях параметра частотности зависимость модуля величины  $\psi(\Omega, k, b)$  носит немонотонный характер. Проведенный анализ показывает, что наиболее существенный вклад в поведение модуля рассматриваемого отношения параметр  $b$  вносит в низкочастотном случае и при промежуточных значениях  $\Omega$ . При этом в указанном частотном диапазоне  $|\psi(\Omega, k, b)|$  увеличивается с ростом параметра  $b$ .

Учитывая связь тензора диэлектрической проницаемости плазмы с тензором проводимости, имеем

$$\varepsilon^l(\Omega, k, b) = 1 + \frac{4\pi i}{\omega} \sigma_0 f^l(\Omega, k, b).$$



**Рис. 2.** Зависимость  $\text{Re}\psi$  от величины  $\Omega$ . Кривые 1, 2, 3 отвечают значениям  $k = 1, 3, 10$ ;  $b = 0.35$ .



**Рис. 3.** Зависимость  $|\psi|$  от величины  $\Omega$ . Кривые 1, 2, 3 отвечают значениям  $b = 0.1, 0.35, 0.7$ ;  $k = 2$ .

Заметим, что продольная диэлектрическая проницаемость связана с дисперсионной функцией  $\Lambda(z) = 1 - w_0^{-1} + \lambda_C(z)w_0^{-1} - 2z^2\lambda_C(z)(\gamma w_0)^{-2}$  в задаче о колебаниях плазмы [15] равенством

$$\varepsilon^l = \frac{w_0\Lambda(z)}{w_0 - 1 + \lambda_C(z) + 2bw_0(w_0 - 1)z^2\lambda_C(z)}, \quad \gamma = \frac{v}{\omega_p}, \quad (5)$$

где  $\omega_p$  — частота плазменных колебаний,  $\lambda_C(z)$  — дисперсионная функция ван Кампена

$$\lambda_C(z) = 1 + \frac{z}{\sqrt{\pi}} \int_{-\infty}^{\infty} \frac{\exp(-u^2) du}{u - z}.$$

Величина  $\varepsilon^l$ , согласно (4) и (5), является комплексной, что означает наличие диссипации энергии электрического поля в плазме [1,2].

В данной работе получены формулы для вычисления продольной диэлектрической проницаемости в сильноионизованной невырожденной плазме. Установлено существенное влияние межэлектронных столкновений на эту характеристику плазмы. Следовательно, электрон-электронные столкновения необходимо учитывать в экспериментальных разработках.

Выявлена зависимость решения от параметра частотности  $b$ . Проведен анализ зависимости импеданса от величины частотного параметра плазмы. Полученные результаты совпадают с классическими в случае  $b = 0$ .

Учет скорости обмена энергией в столкновениях электронов с электронами и с тяжелой компонентой существенен для рассмотрения термических свойств плазмы. Для расчета проводимости и диэлектрической проницаемости плазмы наиболее существенным является учет релаксации импульса электронов. Существенно то, что при электрон-электронных столкновениях суммарный импульс электронной подсистемы сохраняется, в то время как при электрон-ионных столкновениях электроны устривают свой импульс. Это обстоятельство решающим образом сказывается на проводимости и диэлектрической проницаемости плазмы.

Аналогичный двухпараметрический интеграл стлкновений ранее был уже успешно использован для описания влияния электрон-электронных столкновений на электропроводность металлических пленок и

поверхностный импеданс металла. Отметим, что случай, когда время релаксации зависит линейно от скорости электронов, рассмотрен в [16], где исследована проводимость и диэлектрическая проницаемость невырожденной плазмы.

## Список литературы

- [1] *Силин В.П., Рухадзе А.А.* Электромагнитные свойства плазмы и плазмодобных сред. М.: Госатомиздат, 1961. 244 с.
- [2] *Лифшиц Е.М., Питаевский Л.П.* Физическая кинетика. М.: ФИЗМАТЛИТ, 2002. 424 с.
- [3] *Морозов И.В., Норман Г.Э.* // ЖЭТФ. 2005. Т. 127. В. 2. С. 412.
- [4] *Opher M., Morales G.J., Leboeuf J.N.* // Physical Review. 2002. V. 66 (2). N 1. P. 016407.1.
- [5] *Levy B., Sinvani M., Greenfield A.J.* // Phys. Rev. Lett. 1979. V. 43. P. 1822.
- [6] *Borchi E., De Gennaro S.* // J. Phys. F. 1980. V. 10. L. 271.
- [7] *Zhao J., Bass J., Pratt Jr.P.W., Schroeder P.A.* // J. Phys. F: Met. Phys. 1986. V. 16. L. 271.
- [8] *De Gennaro S., Rettory A.* // J. Phys. F. 1984. V. 14. L. 237.
- [9] *Qiant Y.J., Pratt W.P., Schroeder P.A., Movshovitz D., Wiser N.* // J. Phys. C. 1991. V. 3. P. 9459.
- [10] *De Gennaro S., Rettory A.* // J. Phys. F. 1985. V. 15. L. 227.
- [11] *Kaveh M., Wiser N.* // J. Phys. F. 1985. V. 15. L. 1085.
- [12] *Латышев А.В., Юшканов А.А.* // ЖВММФ. 2004. Т. 44. № 10. С. 1861.
- [13] *Латышев А.В., Юшканов А.А.* // ЖВММФ. 2005. Т. 45. № 4. С. 677.
- [14] *Латышев А.В., Юшканов А.А.* Аналитические решения в теории скин-эффекта. М.: МГОУ, 2008. 285 с.
- [15] *Латышев А.В., Юшканов А.А.* // Фунд. физ.-матем. проблемы и модел. тех.-техн. систем. М.: МГТУ „Станкин“, 2008. В. 11. С. 80.
- [16] *Латышев А.В., Юшканов А.А.* // Физика плазмы. 2007. Т. 33. № 7. С. 1.